

Рецензенты:

чл.-корр.АН СССР профессор Лупанов О.Б.  
кандидат физико-математических наук, доцент Ломкин С.А.

Надежность управляющих систем – раздел курса, который читался автором в МГУ с 1964 г. сначала как спецкурс, затем как обязательный курс по специальности 0647, а в настоящее время – как обязательный курс "Основы кибернетики" по специальности 01.02.

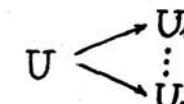
Повышение надежности управляющих систем является актуальной практической задачей. В теоретическом плане надежности управляющих систем представляет собой отдельное направление в математической кибернетике, которому посвящено большое число статей (см. обзор [12]). Данное пособие содержит издание некоторых вопросов синтеза надежных схем из ненадежных функциональных элементов, а также синтеза самокорректирующихся контактных схем и схем из функциональных элементов. Большинство из рассматриваемых

уже "классически  
еnstvovano.

ых элементов.  
и повреждений  
• • • • •  
• • • • •  
в базисе  
• • • • •  
ния надежных  
• • • • •  
ых схем . . .  
функциональ-  
• • • • •

Введение

Пусть на класс  $\mathcal{U}$  управляющих систем (у.с.) действует источник неисправностей  $\mathcal{N}$ . Под влиянием источника  $\mathcal{N}$  каждая управляющая система  $U$  из класса  $\mathcal{U}$  переходит в у.с.  $U_1, \dots, U_r$ , где  $U_1 = U$



При этом мы считаем, что данное воздействие происходит в момент  $t$  и в течение некоторого промежутка времени  $\Delta t$  никаких изменений больше не происходит.

У.с.  $U_1, \dots, U_r$  принадлежат классу  $\mathcal{U}'$ ,  $\mathcal{U}' \supseteq \mathcal{U}$ , т.к. мы считаем, что  $U_1 = U$

Воздействие источника  $\mathcal{N}$  на у.с.  $U = (\Sigma, f)$  может проявляться в появлении

- а) ошибок на входах
- б) неисправностей элементов
- в) ошибок в соединениях элементов
- г) изменений состояний памяти
- д) нарушений алгоритма функционирования и т.п.

Случай а) – г) относятся к случаям, когда источник воздействует на схему  $\Sigma$ . В этой ситуации схема  $\Sigma$  переходит в "неисправные" состояния  $\Sigma_1, \dots, \Sigma_r$ , включающие в себя и исходное состояние  $\Sigma$  (считая  $\Sigma_1 = \Sigma$ ). Пусть этим схемам соответствуют функции  $f_1, \dots, f_r$  ( $f_1 = f$ ) называемые также функциями неисправностей. Тогда  $U_1 = (\Sigma_1, f_1), \dots, U_r = (\Sigma_r, f_r)$ . В дальнейшем особую роль играют не сами функции  $f_1, \dots, f_r$ , а классы эквивалентности  $\mathcal{J}_1, \dots, \mathcal{J}_r$ , на которые можно разбить эти функции:  $f_1$  и  $f_r$  принадлежат одному классу  $\mathcal{J}$  тогда и только тогда, когда  $f_1 = f_r$  (в качестве  $\mathcal{J}$  можно взять любого представителя класса эквивалентности). Можно считать, что  $\mathcal{J}_1 = \mathcal{J}_r = \mathcal{J}$ . Таким образом функции  $\mathcal{J}_1, \dots, \mathcal{J}_r$  определяют различные режимы функционирования при воздействии источника

И на схему  $\Sigma$ . Неисправность схемы  $\Sigma$ . Различаем формальную неисправность - такое неисправное состояние  $\Sigma_L$ , что  $i > 1$  и фактическую неисправность -  $f_i \neq f_1$ . Очевидно, что при формальной неисправности схема  $\Sigma_i$  может функционировать также как и исправная, для этого необходимо, чтобы  $f_i = f_1$ , т.е. функция  $f_i$  принадлежала классу  $\mathcal{G}_1$ . Очевидно также, что неисправности  $f_2$  и  $f_M$ , принадлежащие одному классу, неразличимы.

Проблематика надежности у.с. развивается в рамках логико-кибернетического подхода в двух направлениях:

1. Построение надежных схем из ненадежных элементов
2. Синтез самокорректирующихся схем.

Эти направления отличаются способами описания источника И. В первом случае источник описывается в вероятностных терминах (вероятностный подход). Во втором случае источник характеризуется ограничениями на возможные функциональные изменения элементов и на число одновременно возможных повреждений элементов (логико-комбинаторный подход).

Проблематика надежности начала складываться в середине 50-х годов нашего столетия. Первыми работами были по построению надежных схем из ненадежных элементов: Дж. фон Нейман [14], Мур и Шеннон [13] 1956 г. по синтезу самокорректирующихся схем: Потапов и Яблонский [7] 1960 г.

В дальнейшем существенный вклад в развитие этого направления внесли советские ученые (см. [12]).

#### Часть I. Построение надежных схем из ненадежных элементов

Это направление рассматривается здесь для случая, когда  $\mathcal{U}$  - класс схем из функциональных элементов ( $\Phi.9.$ ). Пусть  $U \in \mathcal{U}$  и  $U = (\Sigma, f)$ . Тогда схема  $\Sigma$  является соединением элементов  $F_i (i=1, \dots)$ , принадлежащих некоторому базису  $B$ . Каждый элемент  $F_i$  (см. черт. 1) является элементарным преобразователем с  $n_i$  входами и одним выходом, реализующим некоторую булевскую функцию  $f_i^o$  от  $n_i$  переменных.



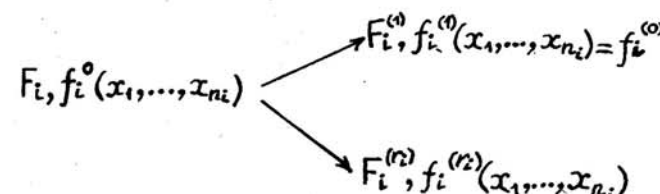
черт. 1

Для схемы  $\Sigma$  под сложностью  $L(\Sigma)$  понимается сумма сложностей  $L(F_i)$  элементов, входящих в схему  $\Sigma$ . Наряду с  $L(\Sigma)$  рассматривается функция Шеннона  $L(n)$

$$L(n) = \max_{f \in P_2^n} \min_{\Sigma, \text{реализ } f} L(\Sigma)$$

где  $P_2^n$  - множество всех булевых функций от  $n$  переменных.

Далее мы будем рассматривать источники И, которые воздействуют на элементы схемы независимым образом так, что поврежденный элемент реализует булевскую функцию от тех же переменных:



Можно считать, что все функции неисправности элементов попарно различны, т.е.  $f_i^{(1)} \neq f_i^{(2)}$  при  $j_1 \neq j_2$ . Элементы, у которых источник И не вызывает неисправностей, называются абсолютно надежными, остальные - ненадежными. Таким образом базис  $B$  по отношению к источнику И разбивается на две части  $B_1$  - состоящую из абсолютно надежных элементов и  $B_2$  - состоящую из ненадежных элементов, т.е.

$$B = B_1 \cup B_2$$

§ I.I. Вероятностное описание источников помех  
и повреждений схем.

Существуют различные возможности вероятностного описания повреждений схем и элементов.

Вероятность  $P(\Sigma)$  (фактической) неисправности схемы (элемента)  $\Sigma$  – является важнейшей характеристикой надежности схемы.

Возникает вопрос: известны вероятности повреждения элементов  $F_i$  ( $F_i \in \bar{B}_2$ ), т.е. величины  $P_i = P(F_i)$ , спрашивается, можно ли найти  $P(\Sigma)$ ? Оказывается, без дополнительной информации, если хотя бы для одного из  $F_i$ ,  $F_i \in \bar{B}_2$  число  $r_i$  неисправных режимов более или равно 3, то этого сделать в общем случае нельзя. Поэтому при этих же ограничениях набор вероятностей  $\{P_i\}$  не является полным описанием источника И.

В то же время существует полезная оценка для  $P(\Sigma)$  через величину  $P_i$ . Для этого занумеруем все элементы из  $\Sigma$ , принадлежащие  $\bar{B}_2$ , числами  $1, 2, \dots, \ell$  и пусть  $\vartheta(i)$  ( $i=1, \dots, \ell$ ) указывает тип элемента с номером  $i$ .

Теорема 1.

$$P(\Sigma) \leq 1 - \prod_{i=1}^{\ell} (1 - P_i)^{\vartheta(i)}$$

Доказательство следует из того, что правая часть неравенства есть вероятность формальной неисправности схемы  $\Sigma$  и вероятность фактической неисправности схемы  $\Sigma$  не превосходит вероятности ее формальной неисправности.

Легко видеть, что данное неравенство может быть строгим, т.е. оценка является грубой.

Распределение вероятностей появления для схемы  $\Sigma$  режимов  $\vartheta_1, \dots, \vartheta_m$ , где  $\vartheta_i = f(x_1, \dots, x_n)$  и  $1 \leq m \leq 2^n$ , определяется указанием вероятностей  $q^{(1)}, \dots, q^{(m)}$  их появления, для которых  $\sum_{i=1}^m q^{(i)} = 1$ . Очевидно, что  $P(\Sigma) = 1 - q^{(1)} - \sum_{i=2}^m q^{(i)}$ .

Для элементов  $F_i$  из  $\bar{B}_2$  распределение вероятностей имеет вид:

$$\begin{pmatrix} f_i^{(1)}, \dots, f_i^{(r_i)} \\ P_i^{(1)}, \dots, P_i^{(r_i)} \end{pmatrix}, \text{ где}$$

$\sum_{j=1}^{r_i} P_i^{(j)} = 1$ ,  $f_i^{(j)} = f_i^0(x_1, \dots, x_{n_i})$ ,  $2 \leq r_i \leq 2^{2^{n_i}}$ . Можно также считать, что  $P_i^{(j)} > 0$  ( $1 \leq j \leq r_i$ ), т.к. иначе можно было бы выбросить функции, для которых вероятность равна 0.

Оказывается, что, зная распределения для элементов  $F_i$  из  $\bar{B}_2$ , можно построить распределение для схемы  $\Sigma$  над  $\bar{B}$ , реализующей функцию  $f(x_1, \dots, x_n)$ . Для этого для каждого элемента схемы  $\Sigma$ , принадлежащего  $\bar{B}_2$ , выбирают одну из возможных функций неисправности и вычисляют вероятность этой выборки как произведение вероятностей появления выбранных неисправностей для отдельных элементов. Затем находят режим схемы  $\Sigma$ , соответствующий данному выбору. Эту процедуру продлевают для всевозможных комбинаций выборов. После чего, суммируя все вероятности, соответствующие режиму  $\vartheta_i$ , находим величину  $q^{(i)}$  ( $1 \leq i \leq m$ ).

Отсюда вытекает, что законы распределений вероятностей для базисных элементов из  $\bar{B}_2$  являются полной характеристикой источника И.

Пример. И<sub>Н</sub> – неймановский источник, если для каждого  $F_i$  из  $\bar{B}_2$  распределение вероятностей имеет вид

$$\begin{pmatrix} f_i^{(1)}(x_1, \dots, x_{n_i}), \dots, f_i^{(2^{2^{n_i}})}(x_1, \dots, x_{n_i}) \\ P_i^{(1)}, \dots, P_i^{(2^{2^{n_i}})} \end{pmatrix},$$

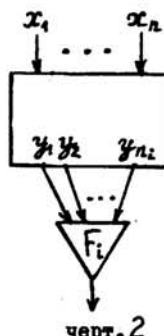
где  $f_i^{(j)} = f_i^0(x_1, \dots, x_{n_i})$ ,  $\sum_{j=1}^{2^{2^{n_i}}} P_i^{(j)} = 1$  и  $P_i^{(j)} > 0$ ,

т.е. у ненадежных элементов неймановский источник вызывает всевозможные функциональные повреждения. Обозначим для  $F_i$  из  $\bar{B}_2$  через  $P_{min}^{(i)} = \min_{1 \leq j \leq 2^{2^{n_i}}} P_i^{(j)}$  и  $P_{min} = \min_{i, F_i \in \bar{B}_2} P_{min}^{(i)}$ .

Теорема 2. Для неймановского источника  $I_H \in B_1 = \Lambda$

$$P(\Sigma) \geq p_{\min}$$

Доказательство. Пусть выход схемы  $\Sigma$  является выходом элемента  $F_i$ . Обозначим входы  $F_i$  через  $y_1, y_2, \dots, y_{n_i}$  (см. черт. 2).



черт. 2

Пусть далее  $M_j$  - событие, состоящее в том, что при воздействии источника  $I$  на входы  $y_1, \dots, y_{j-1}$ , информация поступает без искажений, а на  $y_j$  входе есть искажение ( $j=1, \dots, n_i$ ) и  $M_0$  - событие, при котором на всех входах нет искажений. Очевидно,  $M_0, M_1, \dots, M_{n_i}$  полная система взаимно исключающих событий, т.е.

$$P(M_0) + P(M_1) + \dots + P(M_{n_i}) = 1.$$

Очевидно, что схема  $\Sigma$  будет неисправной, если при осуществлении события

$M_0$  элемент  $F_i$  перейдет в состояние, реализующее  $f_i^0 = f_i^{j_0}$

$M_1$  элемент  $F_i$  перейдет в состояние, реализующее  $y_1 = f_i^{j_1}$

$M_{n_i}$  элемент  $F_i$  перейдет в состояние, реализующее  $y_{n_i} = f_i^{j_{n_i}}$

Поэтому

$$P(\Sigma) \geq \sum_{k=0}^{n_i} P(M_k) p_i^{(j_k)} \geq \sum_{k=0}^{n_i} P(M_k) p_{\min} = p_{\min}$$

Функция  $g(x_1, \dots, x_n)$ , задающая вероятность неправильной работы схемы  $\Sigma$  на входных наборах  $(\alpha_1, \dots, \alpha_n)$ ,  $\alpha_i \in \{0, 1\}, i=1, \dots, n$ . Данная характеристика удобна с практической точки зрения, т.к. она позволяет оценивать надежность работы  $\Sigma$  на входных наборах. В случае, если речь идет о базисных элементах  $F_i$ , то соответствующие им функции будем обозначать через  $p_i(x_1, \dots, x_n)$ .

Можно показать, что зная функции  $p_i(x_1, \dots, x_n)$  для всех базисных элементов  $F_i$  из  $B_2$ , можно однозначно определить функцию  $g(x_1, \dots, x_n)$  для схемы  $\Sigma$  над  $B$ . Для этого постепенно продвигаясь от входов  $\Sigma$  при  $x_1 = \alpha_1, \dots, x_n = \alpha_n$  вычисляем вероятности появления 0 и 1 на выходах элементов пока не достигнем выхода. Вероятность значения  $f(x_1, \dots, x_n)$  есть  $g(\alpha_1, \dots, \alpha_n)$ .

В силу сказанного, система функций  $\{p_i\}$  для базисных элементов из  $B_2$  является полной характеристикой для источника  $I$ .

Теперь перейдем к рассмотрению связей между

$$\left( g_1, \dots, g_m \right) \quad \text{и} \quad g(x_1, \dots, x_n).$$

Теорема 3. По распределению  $(g^{(1)}, \dots, g^{(m)})$  функция  $g(x_1, \dots, x_n)$  определяется однозначно.

Доказательство. В самом деле, если

a)  $g_1(\alpha_1, \dots, \alpha_n) = f(\alpha_1, \dots, \alpha_n) = 0$ , то

$$g(\alpha_1, \dots, \alpha_n) = g^{(2)}g_2(\alpha_1, \dots, \alpha_n) + \dots + g^{(m)}g_m(\alpha_1, \dots, \alpha_n)$$

b)  $g_1(\alpha_1, \dots, \alpha_n) = f(\alpha_1, \dots, \alpha_n) = 1$ , то

$$\begin{aligned} g(\alpha_1, \dots, \alpha_n) &= g^{(2)}\bar{g}_2(\alpha_1, \dots, \alpha_n) + \dots + g^{(m)}\bar{g}_m(\alpha_1, \dots, \alpha_n) = \\ &= g^{(2)}(1-g_2(\alpha_1, \dots, \alpha_n)) + \dots + g^{(m)}(1-g_m(\alpha_1, \dots, \alpha_n)) = \\ &= 1 - g^{(1)} - (g^{(2)}g_2(\alpha_1, \dots, \alpha_n) + \dots + g^{(m)}g_m(\alpha_1, \dots, \alpha_n)) \end{aligned}$$

Объединяя оба случая, имеем

$$g(x_1, \dots, x_n) = (1 - g^{(1)}) g_1(x_1, \dots, x_n) + \\ + (g^{(2)} g_2(x_1, \dots, x_n) + \dots + g^{(m)} g_m(x_1, \dots, x_n))(1 - 2g_1(x_1, \dots, x_n))$$

Учитывая тождество для булевых величин  $\text{U}$  и  $\text{V}$

$$\text{U} \oplus \text{V} = \text{U} + \text{V} - 2\text{UV}$$

получим

$$g(x_1, \dots, x_n) = (g^{(2)} g_1 + g^{(2)} g_2 - 2g^{(2)} g_1 g_2) + \dots \\ \dots + (g^{(m)} g_1 + g^{(m)} g_m - 2g^{(m)} g_1 g_m) = \\ = g^{(2)}(g_1(x_1, \dots, x_n) \oplus g_2(x_1, \dots, x_n)) + \dots \\ \dots + g^{(m)}(g_1(x_1, \dots, x_n) \oplus g_m(x_1, \dots, x_n))$$

Если осуществить нормировку режимов функционирования, прибавив к функциям  $g_1, \dots, g_m$  по  $\text{mod } 2$  функцию  $\tilde{g}_1$ , то получим  $\tilde{g}_1 = g_1 \oplus g_1 = 0$ ,  $\tilde{g}_2 = g_2 \oplus g_1, \dots, \tilde{g}_m = g_m \oplus g_1$  и выражение для  $g_1(x_1, \dots, x_n)$  примет вид

$$g(x_1, \dots, x_n) = g^{(2)} \tilde{g}_2(x_1, \dots, x_n) + \dots + g^{(m)} \tilde{g}_m(x_1, \dots, x_n)$$

(случай  $a$ ). В тех случаях, когда важен подсчет вероятностей, можно это делать считая  $g_1(x_1, \dots, x_n) = 0$ .

Про функцию  $g$ , получаемую по распределению

$$\begin{pmatrix} g_1, \dots, g_m \\ g^{(1)}, \dots, g^{(m)} \end{pmatrix}$$

будем говорить, что она соответствует этому распределению.

Теорема 4. Для каждой функции  $g(x_1, \dots, x_n)$ ,  $0 \leq g(x_1, \dots, x_n) \leq 1$  и схемы  $\sum$ , реализующей  $f(x_1, \dots, x_n)$ , можно найти источник  $I$  с распределением  $\begin{pmatrix} g_1, \dots, g_m \\ g^{(1)}, \dots, g^{(m)} \end{pmatrix}$

так, что

- 1)  $g_i(x_1, \dots, x_n) = f(x_1, \dots, x_n)$ ,  $g_i \neq g_j$  при  $i \neq j$
- 2) функция  $g(x_1, \dots, x_n)$  соответствует распределению

$$\begin{pmatrix} g_1, \dots, g_m \\ g^{(1)}, \dots, g^{(m)} \end{pmatrix}$$

Доказательство. Если  $g(x_1, \dots, x_n) \equiv 0$ , то в качестве источника  $I$  надо взять источник не вызывающий в  $\sum$  неисправностей — его распределение  $\begin{pmatrix} f \\ 1 \end{pmatrix}$ .

Если  $g(x_1, \dots, x_n) \not\equiv 0$ , то покажем как строится источник для случая  $f \equiv 0$ .

Обозначим через  $\tilde{\mathcal{L}}^{(1)}, \dots, \tilde{\mathcal{L}}^{(m-1)}$  все наборы, на которых  $g > 0$  и пусть они занумерованы так, что

$$g(\tilde{\mathcal{L}}^{(1)}) \leq g(\tilde{\mathcal{L}}^{(2)}) \leq \dots \leq g(\tilde{\mathcal{L}}^{(m-1)})$$

Возьмем функции  $g_1, \dots, g_m$  согласно табл. 1

	$g_1$	$g_2$	$g_3$	$\dots$	$g_{m-1}$	$g_m$
$\tilde{\mathcal{L}}^{(1)}$	0	1	0	$\dots$	0	0
$\tilde{\mathcal{L}}^{(2)}$	0	1	1	$\dots$	0	0
$\dots$	$\dots$	$\dots$	$\dots$	$\dots$	$\dots$	$\dots$
$\tilde{\mathcal{L}}^{(m-2)}$	0	1	1	$\dots$	1	0
$\tilde{\mathcal{L}}^{(m-1)}$	0	1	1	$\dots$	1	1
на остальных наборах	0	0	0	$\dots$	0	0

табл. 1  
Вероятности  $g^{(1)}, \dots, g^{(m)}$  выберем следующим образом

$$\begin{aligned}
 g^{(2)} &= g(\tilde{\alpha}^{(1)}) \\
 g^{(3)} &= g(\tilde{\alpha}^{(2)}) - g(\tilde{\alpha}^{(1)}) \\
 &\dots \\
 g^{(m)} &= g(\tilde{\alpha}^{(m-1)}) - g(\tilde{\alpha}^{(m-2)}) \\
 g^{(1)} &= 1 - \sum_{i=2}^m g^{(i)} = 1 - g(\tilde{\alpha}^{(m-1)})
 \end{aligned}$$

Легко видеть, что построенному распределению вероятностей отвечает исходная функция  $g(x_1, \dots, x_n)$ :

$$\begin{aligned}
 &g^{(2)}g_2(x_1, \dots, x_n) + g^{(3)}g_3(x_1, \dots, x_n) + \dots + g^{(m)}g_m(x_1, \dots, x_n) = \\
 &= g(\tilde{\alpha}^{(1)})g_2 + (g(\tilde{\alpha}^{(2)}) - g(\tilde{\alpha}^{(1)}))g_3 + \dots + (g(\tilde{\alpha}^{(m-1)}) - g(\tilde{\alpha}^{(m-2)}))g_m = \\
 &= g(\tilde{\alpha}^{(1)})(g_2 - g_3) + g(\tilde{\alpha}^{(2)})(g_3 - g_4) + \dots + g(\tilde{\alpha}^{(m-2)})(g_{m-1} - g_m) + g(\tilde{\alpha}^{(m-1)})g_m = \\
 &= g(x_1, \dots, x_n)
 \end{aligned}$$

В случае  $f \neq 0$ , для построения закона распределений нужно вместо  $g_1, \dots, g_m$  взять  $g_1 \oplus f, \dots, g_m \oplus f$ , а вероятности оставить прежними. Теорема доказана.

Следующий пример показывает, что выбор распределения по функции  $g_1(x_1, \dots, x_n)$  не однозначен.

Пример. Пусть  $g(x_1, \dots, x_n) \equiv \frac{1}{2}$  и  $\Sigma$  реализует

1). Возьмем распределение  $\left(\frac{g_1}{2^{2^n}}, \dots, \frac{g_{2^{2^n}}}{2^{2^n}}\right)$ , где  $g_1, \dots, g_{2^{2^n}}$  – все булевские функции от  $n$  переменных и  $g_i = f(x_1, \dots, x_n)$ . Ясно, что на любом наборе  $(\alpha_1, \dots, \alpha_n)$  половина функций принимает значение 0 и половина – 1. Поэтому ровно в половине случаев будет изменяться значение, т.е. происходит ошибка. Отсюда вероятность ошибки на наборе  $(\alpha_1, \dots, \alpha_n)$  равна половине.

2). Возьмем распределение  $\left(\frac{f}{2}, \frac{\bar{f}}{2}\right)$ . Очевидно, что и в

этом случае ошибка на любом наборе имеет вероятность  $\frac{1}{2}$ . Итак, в обоих случаях распределением соответствует одна и та же функция  $g(x_1, \dots, x_n)$ .

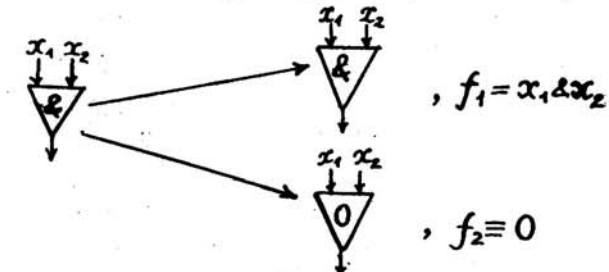
Если рассмотреть распределение  $\left(\frac{f(x_1, \dots, x_n)}{1-p}, \frac{\bar{f}(x_1, \dots, x_n)}{p}\right)$ , то в этом случае  $g(x_1, \dots, x_n) \equiv p$  и проходит доказательство теоремы 2. Поэтому для данного источника  $P(\Sigma) \geq p$ .

### § I.2. Влияние ошибок на надежность схемы.

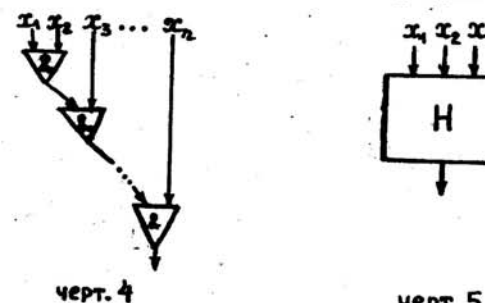
Появившаяся неисправность элемента в схеме  $\Sigma$  влияет на результат работы других элементов схемы  $\Sigma$ , которые подключены к его выходу, и в конечном счете – на надежность самой схемы. При этом возможны различные эффекты.

#### I. Эффект нарастания ненадежности.

Рассмотрим базис, состоящий из одного ненадежного элемента конъюнктора, и источник  $\mathcal{I}$  (см. черт. 3).



черт. 3 ( $\frac{x_1}{1-p}, \frac{x_2}{p}$ ),  $0 < p < 1$ .  
с распределением вероятностей  $(\frac{x_1}{1-p}, \frac{x_2}{p})$ ,  $0 < p < 1$ .  
Очевидно, что схема  $\Sigma_1$  (см. черт. 4) реализует функцию  $x_1 \& \dots \& x_n$  при отсутствии повреждений.



черт. 5

**Мы имеем**

$$\mathcal{P}(\Sigma_n) = 1 - (1-p)^{n-1}$$

т.к. если хоть один из элементов поврежден, то на наборе  $(1, 1, \dots, 1)$  на выходе получим 0, а не 1. Следовательно при  $n \rightarrow \infty$   $\mathcal{P}(\Sigma_n) \rightarrow 1$ , что свидетельствует о нарастании ошибки.

2. В случае базиса  $B=B_2$  ( $B_1=\Lambda$ ) , состоящего из одних недостоверных элементов и источника неймановского типа,

$P(\Sigma) \geq P_{\min}$  (теорема 2), т.е. ненадежность схемы  $\Sigma$  ограничена снизу и поэтому не может быть принципиально сделана сколь угодно малой. Другой вывод состоит в том, что в случае неймановского источника невозможно повысить надежность

схемы, не имея абсолютно надежных элементов, т.е.  $B_1 \neq A$ .  
3. Существование абсолютно надежных элементов, способных повышать надежность.

В качестве примера рассмотрим элемент голосования  $H$  (или  $F_h$ ) (см. черт. 5), содержащий три входа и реализующий функцию  $h(x_1, x_2, x_3) = x_1x_2 \vee x_2x_3 \vee x_1x_3$ .

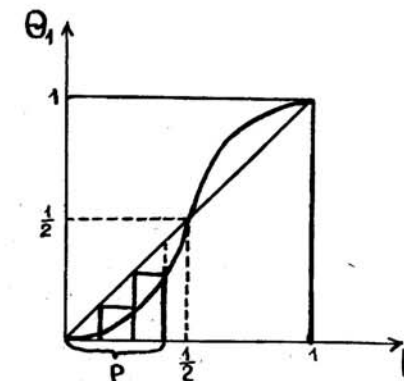
Пусть на его входы независимым образом подается одна и та же величина  $X$  с вероятностями соответственно  $P_1, P_2$  и  $P_3$ .  $0 \leq P_1, P_2, P_3 \leq 1$ . Тогда вероятность  $\Theta$  ошибки на выходе этого элемента (в предположении, что он абсолютно надежен) вычисляется по формуле  $\Theta = P_1 P_2 + P_1 P_3 + P_2 P_3 - 2 P_1 P_2 P_3$ . Покажем, что  $\Theta$  — неубывающая функция по каждому переменному

$P_1$ ,  $P_2$  и  $P_3$ . В силу симметрии достаточно проверить это для первого аргумента. Вычислим

$$\begin{aligned} & \Theta(p_1 + \Delta, p_2, p_3) - \Theta(p_1, p_2, p_3) = (p_1 + \Delta)p_2 + (p_1 + \Delta)p_3 + p_2 p_3 - \\ & - 2(p_1 + \Delta)p_2 p_3 - p_1 p_2 - p_1 p_3 - p_2 p_3 + 2p_1 p_2 p_3 = \\ & = \Delta p_2 + \Delta p_3 - 2\Delta p_2 p_3 \geq \Delta(p_2 - p_3)^2 \geq 0 . \end{aligned}$$

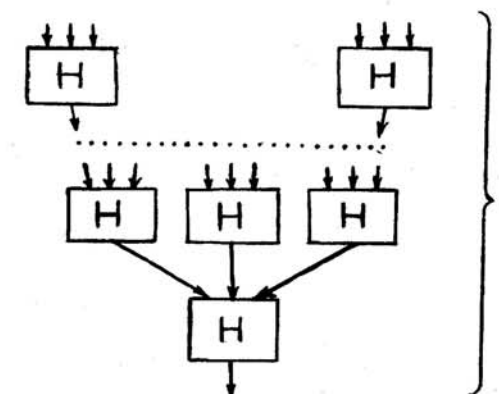
T.K.  $\Delta > 0$ ,  $P_2 \geq P_2^2$ ,  $P_3 \geq P_3^2$

В силу монотонности  $\Theta$ , если положить  $p = \max(p_1, p_2, p_3)$ , то  $\Theta \leq 3p^2 - 2p^3 = \Theta_1(p)$ . На черт. 6 представлен график функции  $\Theta_1(p)$ . Из графика видно, что при  $p < \frac{1}{2}$  имеет место  $\Theta_1(p) < p$ , т.е. ошибка на выходе элемента голосования



черт.

будет меньше максимальной ошибки на входах, и тем самым элемент голосования позволяет увеличивать надежность входного сигнала. Рассмотрим схему (см. черт. 7), представляющую собой дерево с  $\ell$  ярусами, состоящее из элементов  $H$ .



черт.

Если на входы этой схемы подавать независимым образом величину  $x$  с вероятностью ошибки, не превосходящей  $P$ , то ошибка на выходе —  $\Theta_\ell(P)$  — будет вычисляться путем итерации функции  $\Theta_1(p)$ .

$$\Theta_\ell(p) = \Theta_1(\Theta_{\ell-1}(p)) = \dots = \Theta_1(\Theta_1(\dots \Theta_1(p) \dots))$$

и из графика на черт. 6 видно, что величина  $\Theta_\ell(p)$  может быть сделана сколь угодно малой при достаточно большом  $\ell$ . Оценка  $\Theta_\ell$  через  $\Theta_1$  выглядит весьма громоздко. Однако, если наложить более жесткие ограничения на  $p$ , например, взять  $p < \frac{1}{3}$  или еще лучше  $p < \frac{1}{6}$ , то формула существенно упростится

$$\Theta_1 = 3p^2 - 2p^3 < 3p^2 = \frac{1}{3}(3p)^2$$

Лемма 1. при  $p < \frac{1}{6}$

$$\Theta_\ell \leq O\left(\frac{1}{2^{\ell\ell}}\right)$$

Доказательство.

$$\Theta_\ell(p) \leq \frac{1}{3}(3\Theta_{\ell-1})^2 \leq (3\Theta_{\ell-2})^2 \leq \dots \leq \frac{1}{3}(3\Theta_1) \leq \frac{1}{3}(3p)^2$$

при  $p < \frac{1}{6}$  имеем  $3p < \frac{1}{2}$  и  $\Theta_\ell(p) = O\left(\frac{1}{2^{\ell\ell}}\right)$  ( $\ell \rightarrow \infty$ )

Возникает вопрос. Задан базис  $B$  и источник  $I$ . Можно ли для любой булевой функции  $f(x_1, \dots, x_n)$  и любого  $\varepsilon > 0$  построить схему  $\Sigma$  над  $B$ , реализующую  $f(x_1, \dots, x_n)$ , такую, что  $\mathcal{P}(\Sigma) < \varepsilon$ ? Эту задачу в дальнейшем мы будем называть задачей о построении сколь угодно надежных схем из ненадежных элементов или просто – задачей о построении надежных схем из денадежных элементов.

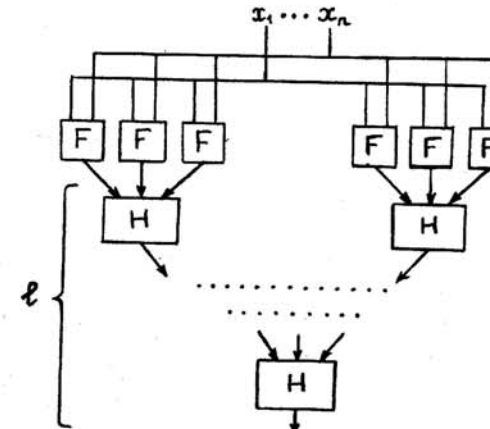
Мы уже сразу можем сказать, что эта задача разрешима не всегда: при определенном выборе базисов и источников  $I$  сколь угодно надежных схем построить нельзя.

В 1956 г. Нейманом [14] было показано, правда не совсем в этих терминах, что существует базис и источник  $I$ , при которых возможно построение сколь угодно надежных схем.

Теорема 5. Пусть  $B = B_1 \cup B_2$ , где  $B_1 = \{H\}$ ,  $B_2 = \{F_1, F_2, F_V\}$  ( $H$  – элемент голосования,  $F_1$ ,  $F_2$ ,  $F_V$  – инвертор, конъюнктор и дизъюнктор соответственно), а

источник  $I$  таков, что  $P_1 = \mathcal{P}(F_1)$ ,  $P_2 = \mathcal{P}(F_2)$ ,  $P_3 = \mathcal{P}(F_V)$  и  $P = \max\{P_1, P_2, P_3\} < \frac{1}{2}$ . Тогда для любой булевой функции  $f(x_1, \dots, x_n)$  и любого  $\varepsilon > 0$  можно построить схему  $\Sigma_\varepsilon$  над  $B$ , реализующую  $f$  и такую, что  $\mathcal{P}(\Sigma_\varepsilon) < \varepsilon$ .

Доказательство. В базисе  $B$  для данной функции  $f$  построим схему  $\Sigma$ , реализующую  $f$ , не налагая на нее никаких требований о надежности. Пусть  $L = L(\Sigma)$  – сложность  $\Sigma$ . Заменим в  $\Sigma$  каждый из элементов  $F_1$ ,  $F_2$  и  $F_V$  на  $F_1^{(e)}$ ,  $F_2^{(e)}$  и  $F_V^{(e)}$  (см. черт. 8), где вместо  $F$  надо взять  $F_1^{(e)}$ ,  $F_2^{(e)}$ ,  $F_V^{(e)}$ , а полученную схему обозначим через  $\Sigma^{(e)}$ .



Очевидно, что  $F_1^{(e)}$ ,  $F_2^{(e)}$  и  $F_V^{(e)}$  реализует те же функции, что и  $F_1$ ,  $F_2$  и  $F_V$ , а поэтому схема  $\Sigma^{(e)}$  тоже реализует функцию  $f$ .

Выберем  $\ell = \ell_\varepsilon$  таким, чтобы  $\mathcal{P}(F_1^{(e)})$ ,  $\mathcal{P}(F_2^{(e)})$  и  $\mathcal{P}(F_V^{(e)}) \leq \frac{\varepsilon}{L}$ , а построенную таким образом схему  $\Sigma^{(e)}$  обозначим через  $\Sigma_\varepsilon$ . Эта схема реализует функцию  $f$  и для нее

$$\mathcal{P}(\Sigma_\varepsilon) \leq \max\{\mathcal{P}(F_1^{(e)}), \mathcal{P}(F_2^{(e)}), \mathcal{P}(F_V^{(e)})\} \cdot L \leq \varepsilon$$

Теорема доказана.

Замечание. Легко видеть, что схема  $\Sigma^\varepsilon$  намного сложнее схемы  $\Sigma$ .

В самом деле, при замене элемента  $F$  на  $F^{(\ell)}$  при подсчете сложности схемы вместо  $L(F)$  надо взять величину  $L(F^{(\ell)})$ , которая может быть найдена на основе черт. 7, 8:

$$\begin{aligned} L(F^{(\ell)}) &= 3^\ell L(F) + (1+3+\dots+3^{\ell-1})L(H) = \\ &= 3^\ell L(F) + \frac{3^\ell - 1}{2} L(H) \end{aligned}$$

Если сложность  $L$  обозначает число элементов, т.е. сложность каждого элемента базиса равна 1, то:

$$L(F^{(\ell)}) = \frac{3^{\ell+1}-1}{2} \sim \frac{3^{\ell+1}}{2} (\ell \rightarrow \infty)$$

Теперь немного подробнее рассмотрим зависимость возможности построения сколь угодно надежных схем для произвольных булевских функций от выбора базиса и источника помех.

Здесь наиболее полный результат получен в 1975 г. В.В. Тарасовым [8, 9] для источников  $I$ , которые для всех ненадежных элементов  $F_i$  из  $B_2$  имеют функции  $p_i(x_1, \dots, x_{n_i})$  – определяющие вероятность неправильной работы элемента на каждом входном наборе, такие, что  $0 < \eta < p_i(x_1, \dots, x_{n_i}) < 1 - \eta$  (в частности – для неймановских источников). Упомянутый результат характеризует необходимые и достаточные условия на базис  $B = B_1 \cup B_2$ , при которых для любой булевской функции возможно построение сколь угодно надежных схем. Эти условия не очень сложны, однако, требуют введения ряда новых понятий, поэтому здесь не формулируются.

В то же время для произвольных источников  $I$  можно дать следующий критерий.

Теорема 6. Для того, чтобы в базисе  $B$  с источником  $I$  для любой булевской функции можно было построить сколь угодно надежную схему необходимо и достаточно, чтобы можно было бы построить сколь угодно надежную схему для каждой функции некоторой полной системы.

Доказательство. Необходимость утверждения очевидна. Для установления достаточности условия рассмотрим некоторую полную систему  $\varphi_1, \dots, \varphi_\ell$ , все функции которой допускают

сколь угодно надежную реализацию в базисе  $B$ .

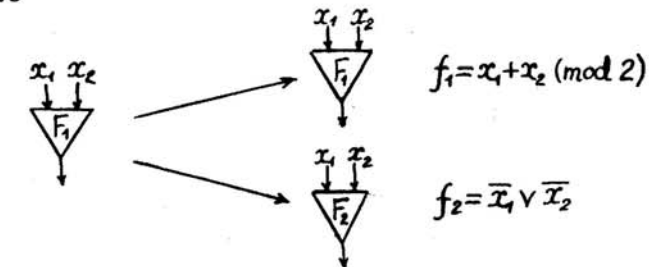
Пусть  $f(x_1, \dots, x_n)$  – произвольная булевская функция и  $\varepsilon > 0$  – произвольное число. Рассмотрим реализацию  $f$  в базисе  $\{F_{\varphi_1}, \dots, F_{\varphi_\ell}\} = B'$ . Соответствующую схему обозначим через  $\Sigma'$ , а через  $L(\Sigma')$  – число элементов в ней. Положим  $\delta = \frac{\varepsilon}{L(\Sigma')}$  и построим реализации функций  $\varphi_1, \dots, \varphi_\ell$  в базисе  $B$  с ненадежностью не превосходящей  $\delta$ . Если теперь в схеме  $\Sigma$  заменить элементы  $F_{\varphi_1}, \dots, F_{\varphi_\ell}$  через указанные реализации, то получим схему  $\Sigma^\varepsilon$  и

$$\mathcal{P}(\Sigma^\varepsilon) \leq \frac{\varepsilon}{L(\Sigma')} \cdot L(\Sigma) = \varepsilon$$

Утверждение доказано.

Замечание. Данная теорема представляет собой обобщение теоремы Неймана (теорема 5).

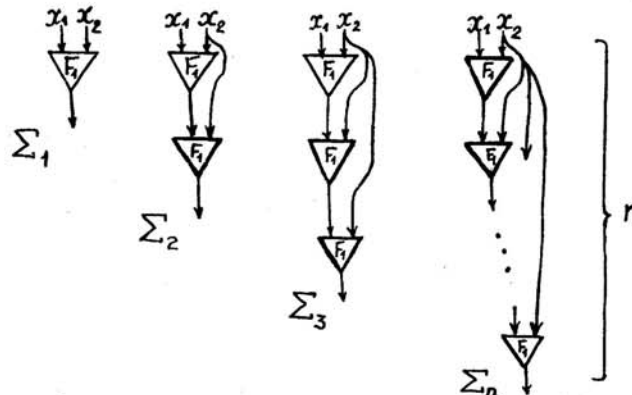
Пример [8] Пусть  $B = B_2 = \{F_1\}$ , где  $F_1$  – элемент, реализующий в исправном состоянии функцию  $f = x_1 + x_2 \pmod{2}$ . Пусть далее  $I$  источник, действующий на  $F_1$ , так как указано на черт. 9



черт. 9  
с распределением вероятностей

$$\left( \begin{array}{cc} f_1 & , & f_2 \\ 1-p & , & p \end{array} \right), \quad 0 < p < \frac{1}{2}$$

Функции  $f_1$  и  $f_2$  совпадают на всех наборах кроме (0,0). Это позволяет легко найти функции, реализуемые схемами  $\Sigma_n$  (см. черт. 10) и их вероятностные параметры.



черт. 10

Для наглядности эти вычисления сведены в табл. 2 и табл. 3 :

$\Sigma_{2i}$	$x_1$	0	1
0	0	1	0
1	1	1	1

$\Sigma_{2i+1}$	$x_1$	0	1
0	0	1	1
1	1	1	0

табл. 2

	$x_1, x_2$	0	
$\Sigma_1$	0 0	$1-p$	$p$
$\Sigma_2$	0 0	$(1-p)^2$	$p + (1-p)p$
$\Sigma_3$	0 0	$(1-p)^3$	$p + (1-p)p + (1-p)^2p$
...	...	...	...
$\Sigma_{2i}$	0 0	$(1-p)^{2i}$	$p + (1-p)p + \dots + (1-p)^{2i-1}p$
$\Sigma_{2i+1}$	0 0	$(1-p)^{2i+1}$	$p + (1-p)p + \dots + (1-p)^{2i}p$

табл. 3

Отсюда видно, что  $\{\Sigma_{2i+1}\}$  реализует функцию Шеффера  $\bar{x}_1 \vee \bar{x}_2$  сколь угодно надежно при  $0 < p < 1$ . В силу предыдущей теоремы исходный базис позволяет реализовывать любую булевскую функцию сколь угодно надежным образом. При этом следует обратить внимание на то, что

1. Базис  $B$  состоит только из ненадежных элементов;
2. Базис  $B$  в исправном состоянии не является полным;
3. Наличие источника неисправностей иногда может давать дополнительные возможности для реализации булевых функций.

### § I.3. Синтез схем из функциональных элементов в базисе $B = \{F_1, F_\&, F_V, F_H\}$

Обсуждая вопрос о построении сколь угодно надежных схем, мы никак не касались вопросов сложности. Наша дальнейшая задача – изучение сложности минимальных схем, для которых  $P(\Sigma) < \epsilon$ , и методов их построения. Наши рассмотрения будут происходить в конкретном классе схем из функциональных элементов, а именно, в классе схем из Ф.Э. над базисом  $B = B_1 \cup B_2$ , где  $B_1 = \{F_H\}$  и  $B_2 = \{F_1, F_\&, F_V\}$ . Для решения вышеуказанных задач необходимо уметь строить достаточно простые схемы из Ф.Э. в базисе  $B = \{F_1, F_\&, F_V, F_H\}$  без требования надежности. Последнее можно осуществить, опираясь на общий результат Лупанова [4], касающийся синтеза схем из Ф.Э. в произвольном конечном базисе. Однако, с практической точки зрения выгодно иметь прямой способ синтеза в указанном базисе, использующий специальные разложения функций через базисные операции ( $\neg, \&, \vee, h$ ) [см. 11].

Данный параграф начнем с формулировки и доказательства двух вспомогательных утверждений (лемм).

Будем рассматривать ориентированные от корня деревья. В них будем различать концевые вершины и вершины внутренние, не являющиеся концевыми. Совокупность ребер, исходящих из внутренней вершины, называется полузвездой. Ориентированное дерево называется однородным порядка  $K$ , если все его полуззды имеют порядок  $K$ , кроме, быть может, одной – особой полуззвезды, имеющей порядок  $K'$ , где  $1 < K' < K$ .

Пусть  $q > 1$ ,  $K=3$  и пусть  $\lambda = [\log_3 q]$ . Построим дерево  $D$ , удовлетворяющее следующим свойствам.

$\lambda = \log_3 q$

1.  $\mathcal{D}$  - однородное дерево порядка 3.

2. В  $\mathcal{D}$  все ярусы от 1 до  $\lambda$  заполнены полностью.

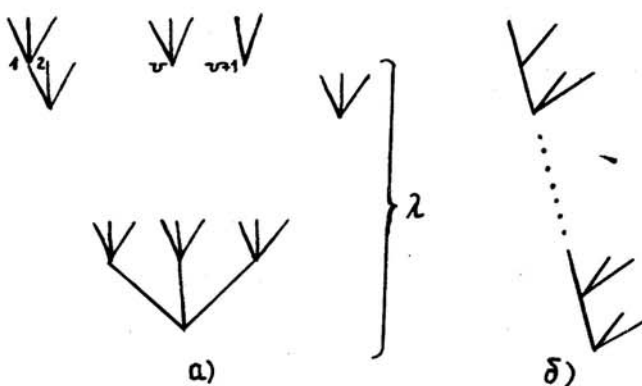
При  $\lambda < \log_3 q$   $\lambda+1$ -й ярус заполнен частично и так, что сначала идут полузвезды порядка 3, затем, возможно, особая полузвезда порядка 2.

3. Общее число концевых вершин  $\mathcal{D}$  равно  $q$ .

В силу  $3^\lambda \leq q < 3^{\lambda+1}$ . Для построения требуемого дерева  $\mathcal{D}$ , берем дерево с  $\lambda$  ярусами, в котором из каждой внутренней вершины исходит ровно три ребра (случай  $1 < q < 3$  очевиден). В этом дереве ровно  $3^\lambda$  концевых вершин и, если  $q = 3^\lambda$ , то процесс построения окончен. Если же  $3^{\lambda+1} > q > 3^\lambda$ , то рассмотрим равенство

$$q - 3^\lambda = 2v + w, \quad w = 0, 1 \quad (*)$$

К первым  $v$  концевым вершинам  $\lambda$ -яруса этого дерева пристраиваем полузвезды порядка 3, а если  $w=1$ , то к  $(v+1)$ -й концевой вершине - полузвезду порядка 2 (см. черт. 11 а).



черт. 11

Очевидно, что построенное дерево удовлетворяет п.п. 1-3 и в силу равенства (\*) имеет  $q$  концевых вершин, т.к. при пристройке полузвезды одна концевая вершина уничтожается, а добавляется столько вершин, сколько содержится концевых вершин в полузвезде.

Лемма 2. Дерево  $\mathcal{D}$ , удовлетворяющее п.п. 1-3, содержит  $[q/2]$  внутренних вершин.

Доказательство. Основано на преобразовании дерева  $\mathcal{D}$  в дерево  $\mathcal{D}'$  (см. черт 11 б) путем постепенного перемещения внешних полузвезд. При каждом таком перемещении некоторая внешняя полузвезда сначала отрезается от дерева и при этом возникает новая концевая вершина; затем эта полузвезда прикрепляется своим центром к другой концевой вершине, которая перестает быть концевой. Таким образом, на каждом шаге преобразования число концевых вершин, число внутренних вершин и число ребер не меняются. В дереве  $\mathcal{D}'$ , очевидно,  $[q/2]$  внутренних вершин.

В дереве  $\mathcal{D}$  пронумеруем концевые вершины числами от 1 до  $q$  и для каждой концевой вершины  $j$  выберем поддерево  $\mathcal{D}_j$  так, что

- (1).  $\mathcal{D}_j$  и  $\mathcal{D}$  имеют общий корень;
- (2).  $\mathcal{D}_j$  содержит вершину  $j$ ;
- (3). Концевые вершины  $\mathcal{D}_j$  являются концевыми вершинами  $\mathcal{D}$ ;
- (4). Каждая внутренняя вершина дерева  $\mathcal{D}_j$  имеет порядок полузвезды равный 2.

Очевидно, что  $\mathcal{D}_j$  с каждой полузвездой дерева  $\mathcal{D}$  либо не имеет общих ребер, либо имеет ровно два.

Пусть булевская функция  $f(x_1, \dots, x_n)$  задана при помощи табл. 4, где

$x_1, \dots, x_k$	$\sigma_1, \dots, \sigma_{k+1}, \dots, \sigma_n$	$x_{k+1}, \dots, x_n$
0 ... 0		
⋮ ⋮ ⋮		
1 ... 1		
$\sigma_1, \dots, \sigma_k$		$\sigma_{k+1}, \dots, \sigma_n$
		$s$
		$s$
		$s - i$ -я полоса

табл. 4

значение  $f(\sigma_1, \dots, \sigma_k, \sigma_{k+1}, \dots, \sigma_n)$  стоит на пересечении строки  $(\sigma_1, \dots, \sigma_k)$  и столбца  $(\sigma_{k+1}, \dots, \sigma_n)$ . Строки таблицы разделим на полосы ширины  $s$  (кроме, быть может, последней, которая содержит  $s'$  строк,  $s' \leq s$ ). Пусть  $q$  - число полос. Очевидно  $q = 1 \frac{s^k}{s} [$ . Занумеруем полосы сверху вниз чис-

лами  $1, \dots, q$ . Обозначим через  $\Psi_i(x_1, \dots, x_k)$  характеристическую функцию  $i$ -ой полосы. Очевидно, что функция

$$g_{\sigma_{k+1}, \dots, \sigma_n}^i(x_1, \dots, x_k) = \Psi_i(x_1, \dots, x_k) f(x_1, \dots, x_k, \sigma_{k+1}, \dots, \sigma_n)$$

определяется пересечением  $i$ -ой полосы таблицы со столбцом  $(\sigma_{k+1}, \dots, \sigma_n)$ , т.е. определяет "короткий" столбец таблицы (заштрихован в таблице).

Положим далее

$$G_{\sigma_{k+1}, \dots, \sigma_n}^i(x_1, \dots, x_k) = g_{\sigma_{k+1}, \dots, \sigma_n}^i(x_1, \dots, x_k) \vee \bigvee_{j \in \sum_i} \Psi_j(x_1, \dots, x_k)$$

где множество  $\sum_i$  включает те и только те числа  $j$ , для которых дерево  $\mathcal{D}_j (j \neq i)$  содержит вершину  $i$ . Функция  $G_{\sigma_{k+1}, \dots, \sigma_n}^i(x_1, \dots, x_k)$  определяет "удлиненный" столбец, состоящий из короткого столбца  $g_{\sigma_{k+1}, \dots, \sigma_n}^i$  и единичных столбцов некоторых полос (определяются множеством  $\sum_i$ ).

Сопоставим дереву  $\mathcal{D}$  функцию  $H(z_1, \dots, z_q)$ , считая, что каждой полузвезде порядка  $3$  соответствует функция  $h(u, v, w)$ , полузвезде порядка  $2$  —  $h(u, v, 0)$ , а концевым вершинам  $1, \dots, q$  — переменные  $z_1, \dots, z_q$ .

Лемма 3.

$$f(x_1, \dots, x_k, \sigma_{k+1}, \dots, \sigma_n) = H(G_{\sigma_{k+1}, \dots, \sigma_n}^1(x_1, \dots, x_k), \dots, G_{\sigma_{k+1}, \dots, \sigma_n}^q(x_1, \dots, x_k))$$

Доказательство. Пусть  $x_1 = b_1, \dots, x_k = b_k$ ; найдем значения функций

$$G_{\sigma_{k+1}, \dots, \sigma_n}^1(\sigma_1, \dots, \sigma_k), \dots, G_{\sigma_{k+1}, \dots, \sigma_n}^q(\sigma_1, \dots, \sigma_k)$$

Предположим, что  $(\sigma_1, \dots, \sigma_k)$  лежит в  $i$ -ой полосе. Тогда

$$g_{\sigma_{k+1}, \dots, \sigma_n}^i(\sigma_1, \dots, \sigma_k) = \begin{cases} f(\sigma_1, \dots, \sigma_n) & \text{при } i = i \\ 0 & \text{при } i \neq i \end{cases}$$

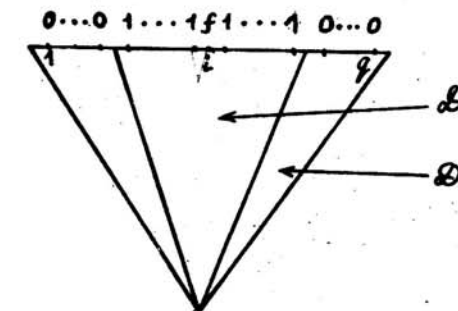
$$\Psi_j(\sigma_1, \dots, \sigma_k) = \begin{cases} 1 & \text{при } j = i \\ 0 & \text{при } j \neq i \end{cases}$$

$$G_{\sigma_{k+1}, \dots, \sigma_n}^i(\sigma_1, \dots, \sigma_k) = \begin{cases} f(\sigma_1, \dots, \sigma_n) & \text{при } i = i \\ 1 & \text{при } i \neq i, i \in \sum_y \\ 0 & \text{при } i \neq i, i \notin \sum_y \end{cases}$$

В последнем выражении условия  $i \in \sum_y, i \notin \sum_y$  эквивалентны соответственно  $i \in \mathcal{D}_i, i \notin \mathcal{D}_i$ . Таким образом, при  $x_1 = b_1, \dots, x_k = b_k$  имеет место равенство

$$H(G_{\sigma_{k+1}, \dots, \sigma_n}^1(\sigma_1, \dots, \sigma_k), \dots, G_{\sigma_{k+1}, \dots, \sigma_n}^q(\sigma_1, \dots, \sigma_k)) = H(y_1, \dots, y_q)$$

где набор  $(y_1, \dots, y_q)$  на входах соответствующих концевым вершинам из  $\mathcal{D} \setminus \mathcal{D}_i$  дает  $0$ , а на входах соответствующих концевым вершинам дерева  $\mathcal{D}_i$  дает всюду  $1$ , кроме входа с номером  $i$ , на который поступает  $f(\sigma_1, \dots, \sigma_n)$  (см. черт. 12)



Черт. 12  
Из чертежа видно, что спускаясь по дереву голосование дает на выходе значение  $f(\sigma_1, \dots, \sigma_n)$ , т.е.

$$H(y_1, \dots, y_q) = f(\sigma_1, \dots, \sigma_n)$$

Лемма доказана.

Пусть  $\Sigma$  - схема из Ф.Э. в базисе  $B$ . Обозначим через  $L_B^{1,2,\vee}(\Sigma)$  и  $L_B^k(\Sigma)$  соответственно число элементов  $F_1$ ,  $F_2$ ,  $F_\vee$  и число элементов  $F_k$  в схеме  $\Sigma$ .

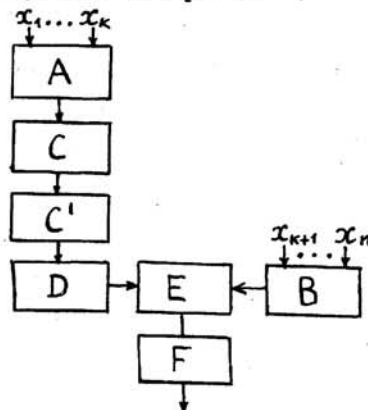
Теорема 7. Для любого натурального  $m$ , где  $m=m(n)$  и  $m(n)=O\left(\frac{n}{\log n}\right)$  существует алгоритм, который для каждой булевой функции  $f(x_1, \dots, x_n)$  строит схему  $\sum f(x_1, \dots, x_n)$  над базисом  $B$  так, что

$$L_B(\sum f(x_1, \dots, x_n)) \leq \frac{1}{2} \frac{2^n}{n}$$

и

$$\frac{L_B^{1,2,\vee}(\sum f(x_1, \dots, x_n))}{L_B^k(\sum f(x_1, \dots, x_n))} = O\left(\frac{1}{n^m}\right)$$

Доказательство. Искомую схему  $\sum_f$  будем строить из блоков  $A$ ,  $B$ ,  $C$ ,  $C'$ ,  $D$ ,  $E$  и  $F$  с учетом табл. 4 так, как это указано на черт. 13.



черт. 13

Блок  $A$  реализует все конъюнкции  $x_1^{\sigma_1} \dots x_k^{\sigma_k}; L_B(A) \leq k+k2^k$ .  
Блок  $B$  реализует все конъюнкции  $x_{k+1}^{\sigma_{k+1}} \dots x_n^{\sigma_n}; L_B(B) \leq (n-k)+(n-k)2^{n-k}$ .

Блок  $C$  реализует в виде совершенной д.н.ф. все "короткие" столбцы и функции  $\Psi_j$ ;  $L_B(C) \leq s q 2^s$ .  
Блок  $C'$  реализует с помощью дизъюнкторов все "удлиненные" столбцы

$$L_B(C') \leq \sum_{i=1}^s t(i) |\sum_i| \leq 2^s \sum_{i=1}^s |\sum_i| \leq 2^s q^{s/2}$$

где  $t(i)$  - число различных столбцов в  $i$ -ой полосе и отдельное слагаемое  $t(i)|\sum_i|$  оценивает число дизъюнкторов необходимое для получения "удлиненных" столбцов, исходя из "коротких" столбцов  $i$ -ой полосы.

Блок  $D$  реализует все функции  $f(x_1, \dots, x_k, \sigma_{k+1}, \dots, \sigma_n)$ , исходя из формул

$$H(G_{\sigma_{k+1}, \dots, \sigma_n}^1(x_1, \dots, x_k), \dots, G_{\sigma_{k+1}, \dots, \sigma_n}^q(x_1, \dots, x_k))$$

Для этого требуется  $[q/2]$  элементов  $F_h$  на каждую формулу и, быть может, нужно реализовать 0 (что требует два элемента)

$$L_B(D) = [q/2] 2^{n-k} + \Delta \quad (\Delta = 0 \text{ или } 2)$$

Блок  $E$  реализует функции вида  $x_{k+1}^{\sigma_{k+1}} \dots x_n^{\sigma_n} f(x_1, \dots, x_k, \sigma_{k+1}, \dots, \sigma_n)$

$$L_B(E) \leq 2^{n-k}$$

Блок  $F$  реализует функцию  $f(x_1, \dots, x_n); L_B(F) \leq 2^{n-k}$

Положим далее  
 $k = [(m+3)\log_2 n]$  и  $s = [n - (3m+6)\log_2 n]$   
 Мы имеем

$$L_B(A) \leq (m+3) \log_2 n \cdot n^{m+3} = \frac{2^n}{n^{m+1}} \frac{2^{(m+3)\log_2 n}}{2^n} = O\left(\frac{2^n}{n^{m+1}}\right)$$

$$L_B(B) \leq \frac{2n \cdot 2^n}{n^{m+3}} = O\left(\frac{2^n}{n^{m+1}}\right)$$

$$L_B(C) \leq 2^{S+k} \leq 2^{n-(2m+3)} \log_2 n \sim \frac{2^n}{n^{2m+3}} = O\left(\frac{2^n}{n^{m+1}}\right)$$

$$L_B(C') \leq \frac{2^{S+2k}}{S^2} \leq \frac{2^{n-m} \log_2 n}{n^2} = \frac{2^n}{n^{m+2}} = O\left(\frac{2^n}{n^{m+1}}\right)$$

$$L_B(D) \sim L_B^h(\Sigma_n) \sim \frac{2^n}{2 \cdot S} \sim \frac{1}{2} \frac{2^n}{n}$$

$$L_B(E) \leq L_B(B) = O\left(\frac{2^n}{n^{m+1}}\right)$$

$$L_B(F) \leq L_B(B) = O\left(\frac{2^n}{n^{m+1}}\right)$$

Отсюда

$$L_B(n) \leq L_B(\sum_{f(x_1, \dots, x_n)}) \sim \frac{1}{2} \frac{2^n}{n}$$

$$\frac{L_B^h(\sum_{f(x_1, \dots, x_n)})}{L_B^h(\sum_{f(x_1, \dots, x_n)})} = \frac{O\left(\frac{2^n}{n^{m+1}}\right)}{\frac{1}{2} \frac{2^n}{n}} = O\left(\frac{1}{n^m}\right)$$

Как установлено в [4] нижняя оценка для  $L_B(n)$  имеет вид

$$L_B(n) \geq \frac{1}{2} \frac{2^n}{n}$$

Поэтому

$$L_B(n) \sim \frac{1}{2} \frac{2^n}{n}$$

§ I.4. Асимптотически оптимальный метод построения надежных схем из ненадежных элементов.

В этом параграфе рассматриваются схемы из Ф.Э. в базисе  $B_P = B_1 \cup B_2$ , где  $B_1 = \{F_h\}$ ,  $B_2 = \{F_1, F_\&, F_V\}$  и  $P = \max\{\mathcal{P}(F_1), \mathcal{P}(F_\&), \mathcal{P}(F_V)\}$  ( $0 < P < \frac{1}{2}$ ).

Пусть  $\varepsilon > 0$  некоторое число. Обозначим через  $\mathcal{Y}^\varepsilon$  класс всех схем  $\Sigma$  в базисе  $B_P$  таких, что  $\mathcal{P}(\Sigma) < \varepsilon$ . В силу теоремы 5  $\mathcal{Y}^\varepsilon$  содержит схемы реализующие любые булевские функции.

Пусть далее

$$L_{B_P}(f, \varepsilon) = \min_{\substack{\Sigma \\ \text{реализ } f \\ \mathcal{P}(\Sigma) < \varepsilon}} L_{B_P}(\Sigma)$$

$$\mathcal{P}(\Sigma) < \varepsilon$$

и

$$L_{B_P}(n, \varepsilon) = \max_{f, f \in P_2^n} L_{B_P}(f, \varepsilon)$$

Очевидно,  $L_{B_P}(n, \varepsilon)$  – функция Шеннона, характеризующая сложность реализации булевых функций от  $n$  переменных в классе  $\mathcal{Y}^\varepsilon$ .

Теорема 8. Существует алгоритм, который для каждой булевой функции  $f(x_1, \dots, x_n)$  строит схему  $\Sigma_{f(x_1, \dots, x_n)}$  из  $\mathcal{Y}^\varepsilon$  такую, что

$$1) L_{B_P}(\Sigma_{f(x_1, \dots, x_n)}) \leq \frac{1}{2} \frac{2^n}{n}$$

$$2) \text{Для любого } \varepsilon > 0 \text{ существует } N(\varepsilon) \text{ и при } n > N(\varepsilon) \quad \mathcal{P}(\Sigma_{f(x_1, \dots, x_n)}) < \varepsilon, \text{ т.е. } \Sigma_{f(x_1, \dots, x_n)} \in \mathcal{Y}^\varepsilon$$

Доказательство. 1. Положим  $m = 2^n$ , построим в соответствии с теоремой 7 последовательность  $\{\Sigma_{f(x_1, \dots, x_n)}^i\}$  схем

над базисом  $\bar{B}$ , для которой

$$L_B(\Sigma'_{f(x_1, \dots, x_n)}) \sim \frac{1}{2} \frac{2^n}{n}$$

и

$$\frac{L_B^{\text{I},\&,\vee}(\Sigma'_{f(x_1, \dots, x_n)})}{L_B^{\text{h}}(\Sigma'_{f(x_1, \dots, x_n)})} = O\left(\frac{1}{n^\varepsilon}\right)$$

2. Как в доказательстве теоремы 5 построим элементы  $\tilde{F}_1 = F_1^{(\ell)}$ ,  $\tilde{F}_2 = F_2^{(\ell)}$  и  $\tilde{F}_V = F_V^{(\ell)}$  из элементов базиса  $\bar{B}_P$  так, чтобы

$$\max \{ \mathcal{P}(\tilde{F}_1), \mathcal{P}(\tilde{F}_2), \mathcal{P}(\tilde{F}_V) \} < \frac{1}{6}$$

Обозначим через

$$c = \max \{ L_{B_P}(\tilde{F}_1), L_{B_P}(\tilde{F}_2), L_{B_P}(\tilde{F}_V) \}$$

3. Для каждой схемы  $F$  рассмотрим схему (см. черт. 8)  $\Sigma_F^{(\ell)}$ , содержащую  $\ell$  ярусов элементов голосования, где  $\ell = \lceil \log_2 n \rceil$ . Она, очевидно, в исправном состоянии реализует ту же функцию, что и  $F$ .

Взяв в качестве  $F$  соответственно  $\tilde{F}_1$ ,  $\tilde{F}_2$ ,  $\tilde{F}_V$  получим схемы  $\Sigma_1$ ,  $\Sigma_2$ ,  $\Sigma_V$ . В этом случае

$$L_{B_P}(\Sigma_F) \leq c 3^\ell + \frac{1}{2} 3^\ell \leq (c+1) 3^\ell \leq 3(c+1)n^{\log_2 3} \leq 3(c+1)n^2$$

4. Заменим в схеме  $\Sigma'_{f(x_1, \dots, x_n)}$  элементы  $F_1$ ,  $F_2$ ,  $F_V$  соответственно на  $\Sigma_1$ ,  $\Sigma_2$ ,  $\Sigma_V$ , получим схему  $\Sigma_{f(x_1, \dots, x_n)}$  над  $B_P$ . Очевидно,

$$L_{B_P}(\Sigma_f) \leq L_B^{\text{h}}(\Sigma'_f) + L_B^{\text{I},\&,\vee}(\Sigma'_f) \cdot \max \{ L_{B_P}(\Sigma_1), L_{B_P}(\Sigma_2), L_{B_P}(\Sigma_V) \} \leq$$

$$\leq \frac{1}{2} \frac{2^n}{n} + 3(c+1)n^2 \cdot O\left(\frac{2^n}{n^3}\right) \sim \frac{1}{2} \frac{2^n}{n}$$

$$\mathcal{P}(\Sigma_f) \leq L_B^{\text{I},\&,\vee}(\Sigma'_f) \cdot \max \{ \mathcal{P}(\Sigma_1), \mathcal{P}(\Sigma_2), \mathcal{P}(\Sigma_V) \} =$$

$$= O\left(\frac{2^n}{n^3}\right) \cdot O\left(\frac{1}{n^\varepsilon}\right) = O\left(\frac{2^n}{n^3}\right) O\left(\frac{1}{2^n}\right) = O\left(\frac{1}{n^3}\right)$$

30

так как  $\ell \geq \log_2 n$ , т.е.  $2^\ell \geq n$  и  $O\left(\frac{1}{2^{2^\ell}}\right) = O\left(\frac{1}{2^n}\right)$ . Отсюда для любого  $\varepsilon > 0$  найдется  $N(\varepsilon)$ , что при  $n > N(\varepsilon)$

$$\mathcal{P}(\Sigma_f) < \varepsilon.$$

Теорема доказана.

Следствие. В силу того, что  $L_{B_P}(n, \varepsilon) \geq L_B(n)$  и предыдущего результата

$$L_{B_P}(n, \varepsilon) \sim \frac{1}{2} \frac{2^n}{n}$$

Из свойств нижней оценки и данной асимптотики вытекает также, что при фиксированном  $\varepsilon > 0$  для почти всех булевых функций минимальная  $\varepsilon$ -надежная схема имеет сложность асимптотически равную  $\frac{1}{2} \frac{2^n}{n}$ , т.е. сложности минимальной схемы без требования надежности. Для указанного класса функции удается достичь надежной реализации без существенного усложнения схемы.

## Часть II. Синтез самокорректирующихся схем

Пусть  $\mathcal{U}$  - класс управляющих систем и  $\mathcal{N}$  - источник неисправностей. Возьмем у.с.  $U \in \mathcal{U}$ , где  $U = (\Sigma, f)$ . Обозначим через  $f_1, \dots, f_r$  ( $f_i = f$ ) - функции неисправностей, вызываемые источником  $\mathcal{N}$ .

Определение. Схема  $\Sigma$  называется самокорректирующейся (относительно источника  $\mathcal{N}$ ), если для любого  $i = 1, 2, \dots, r$   $f_i \equiv f$

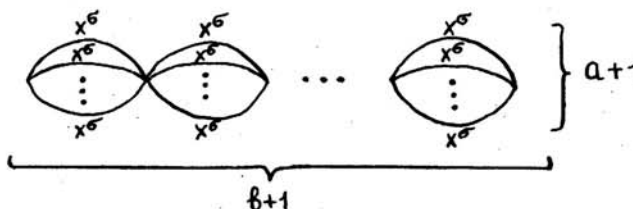
Естественно возникает вопрос о существовании самокорректирующихся схем, о методах их построения, об изучении их сложности. Данные вопросы мы рассмотрим для двух классов у.с. - контактных схем и схем Ф.Ф.

### § 2.1. Построение самокорректирующихся контактных схем.

В этом случае обычно рассматривают в качестве источника неисправностей - источник  $\mathcal{N}_{a,b}$ , вызываемый в контактной схеме не более  $a$  разрывов и  $b$  коротких замыканий контактов, понимая под разрывом (замыканием) контакта  $x^\sigma$  присвоение соответствующему ребру символа  $O$  (соответственно 1).

При наличии источника  $I_{a,8}$  класс  $\mathcal{U}$  расширяется до класса  $\mathcal{U}'$ , в котором схемы получаются из  $P$ -полюсных сетей путем приписывания ребрам символов из алфавита  $\{x_1, \dots, x_n, \bar{x}_1, \dots, \bar{x}_n, 0, 1\}$ . Функционирование доопределяется естественным образом.

Пусть функция  $f(x_1, \dots, x_n)$  реализована контактной схемой  $\Sigma$ . Заменим в ней каждый контакт  $x^{\sigma}$  на схему (см. черт. 14)



черт. 14

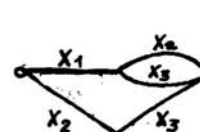
Полученную схему обозначим через  $\Sigma^c$ . Очевидно  $\Sigma^c$  реализует ту же функцию  $f(x_1, \dots, x_n)$ , является самокорректирующейся схемой относительно источника  $I_{a,8}$  и имеет сложность  $L(\Sigma^c) = (a+1)(b+1)L(\Sigma)$ , т.е. в  $(a+1)(b+1)$  большую, чем сложность  $\Sigma$ .

Найденное решение вряд ли можно считать корректным: самокорректирующаяся схема построена за счет усложнения исходной схемы в несколько раз. Можно было бы считать решение корректным, если бы усложнение схемы  $\Sigma$  было бы малым по сравнению с  $L(\Sigma)$  (при  $n \rightarrow \infty$ ). В дальнейшем приведенное решение будем называть тривиальным. Обозначим через  $L_{a,8}(f)$  - сложность минимальной самокорректирующейся схемы, реализующей  $f$ .

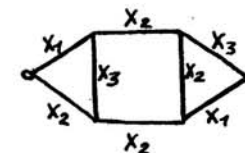
Существуют функции, для которых тривиальные самокорректирующиеся схемы будут минимальными самокорректирующимися схемами. К ним относится, например, функция  $x_1 \cdot x_2 \cdots x_n$ . В связи с этим возникает вопрос, а существуют ли нетривиальные самокорректирующиеся схемы? Рассмотрим пример.

\* Сложностью  $L(\Sigma)$  контактной схемы называется число контактов в  $\Sigma$ .

Пример. Функция  $h(x_1, x_2, x_3) = x_1 x_2 \vee x_1 x_3 \vee x_2 x_3$  может быть реализована схемой  $\Sigma$  (см. черт. 15), имеющей 5 контактов. В то же время для нее существует самокорректирующаяся схема, относительно  $I_{0,1}$ , содержащая 8 контактов (см. черт. 16)[1]



черт. 15



черт. 16

Отсюда видно, что нетривиальные самокорректирующиеся схемы существуют. Поэтому имеет смысл изучать величину  $L_{a,8}(f)$  - сложность минимальных самокорректирующихся, относительно  $I_{a,8}$ , схем, реализующих функцию  $f$ , а также соответствующую функцию Лупанова -  $L_{a,8}(n)$ . Очевидно,  $L_{a,8}(n) \geq L(n)$ , т.е.

$L_{a,8}(n) \geq \frac{2^n}{n}$ . Далее будем исследовать вопрос о построении самокорректирующихся контактных схем для случая простейших источников  $I_{0,1}$  и  $I_{1,0}$ .

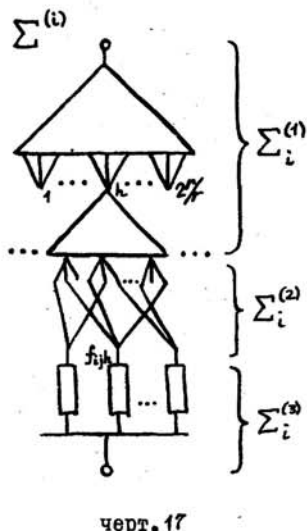
**Теорема 9.** (Потапов Ю.Г. Яблонский С.В. [7]) Существует метод синтеза, позволяющий для каждой булевой функции  $f(x_1, \dots, x_n)$  строить самокорректирующуюся, относительно  $I_{0,1}$ , схему  $\Sigma_f^c$  такую, что

$$L(\Sigma_f^c) \leq \frac{2^n}{n}$$

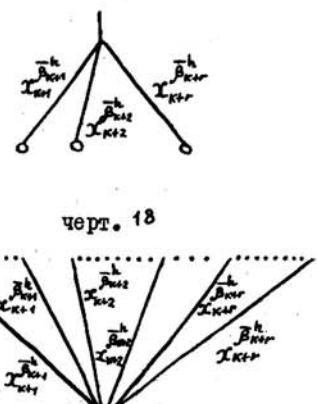
**Доказательство. I.** Исходя из разложения

$$f(x_1, \dots, x_n) = \bigvee_{i=1}^P f_i(x_1, \dots, x_n) \text{ и } f(x_1, \dots, x_n) = \bigvee_{j=1}^{t(i)} \bigwedge_{h=1}^{2^k} f_{ij}^{(h)}(x_1, \dots, x_k) f_{ijh}(x_{k+1}, \dots, x_n)$$

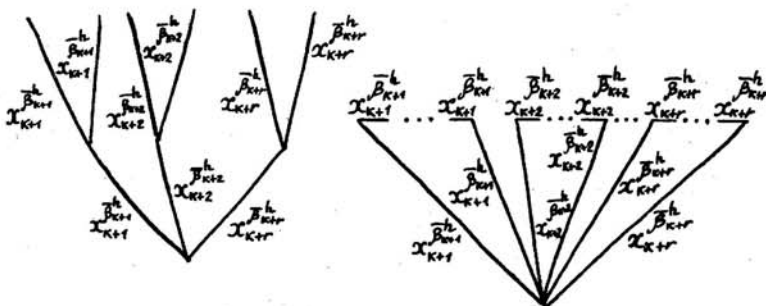
по методу Лупанова [5] находим схему  $\Sigma$ , являющуюся параллельным соединением схем  $\Sigma_i$ , реализующих  $f_i$ , для всех  $i = 1, \dots, P$ . Схема  $\Sigma_i$  разбивается на три части  $\Sigma_i^{(1)}, \Sigma_i^{(2)}$  и  $\Sigma_i^{(3)}$  (см. черт. 17). Часть  $\Sigma_i^{(2)}$  состоит из метелок, тип которых определяется центром соответствующей  $h$ -ой сферы,



черт. 17



черт. 18



черт. 20

черт. 21

(см. черт. 18) и объединений контактов, входящих в них. Каждое объединение происходит в пределах метелок одного типа и содержит некоторое количество контактов  $x_{k+1}^h$ , некоторое количество контактов  $x_{k+2}^h, \dots$ , и, наконец, некоторое количество контактов  $x_{k+r}^h$  (см. черт. 19). На выходах объединений реализуются функции  $f_{ijk}(1 \leq i \leq p \leq \frac{2^k}{s}, 1 \leq j \leq t(i) \leq 2^s,$

34.

$1 \leq h \leq 2^s$ . Положим далее  $\sum^{(1)} = \bigcup_i \sum_i^{(1)}$ ,  $\sum^{(2)} = \bigcup_i \sum_i^{(2)}$  и  $\sum^{(3)} = \bigcup_i \sum_i^{(3)}$ .

2. Построим схему  $\sum_f^c$  путем переделки схемы  $\sum$ . Для этого в частях  $\sum^{(1)}$  и  $\sum^{(3)}$  каждый контакт  $x^h$  заменим двумя последовательно соединенными контактами  $x^h$ , а в части  $\sum^{(2)}$  каждую группу одноименных контактов каждого объединения (см. черт. 19), последовательно продублируем еще одним контактом того же типа (см. черт. 20). Таким образом, на каждую функцию  $f_{ijk}$  дополнительно добавляется  $r$  контактов. Отсюда

$$L(\sum_f^c) \leq 2L(\sum^{(1)}) + 2L(\sum^{(3)}) + L(\sum^{(2)}) + r \frac{2^k}{s} 2^s \frac{2^r}{r}$$

Нетрудно видеть, что схема  $\sum_f^c$  реализует функцию  $f(x_1, \dots, x_n)$  и является самокорректирующейся относительно  $\mathcal{N}_{0,1}$ .

3. Полагая  $r = 2^{\lceil \frac{n}{2} \log_2 n \rceil}$ ,  $k = \lceil 2 \log_2 n \rceil$  и  $s = \lceil n - 2\sqrt{n} \rceil$  получим:  $L(\sum^{(2)}) \sim \frac{2^n}{n}$ ,  $L(\sum^{(1)}) = O(\frac{2^n}{n})$ ,  $L(\sum^{(3)}) = O(\frac{2^n}{n})$  и  $\frac{2^{k+s+r}}{s} \lesssim n 2^{n - \sqrt{n}} = O(\frac{2^n}{n})$ . Следовательно

$$L(\sum_{f(x_1, \dots, x_n)}^c) \leq \frac{2^n}{n}$$

Теорема доказана.

Учитывая нижнюю оценку, мы получаем асимптотику,

$$L_{0,1}(n) \sim \frac{2^n}{n}$$

которая означает, что алгоритм синтеза, содержащийся в доказательстве теоремы, является асимптотически наилучшим.

Теорема 10. (Мадатян Х.А. [6]) Существует метод синтеза, позволяющий для каждой булевой функции  $f(x_1, \dots, x_n)$  строить самокорректирующиеся, относительно  $\mathcal{N}_{0,1}$  схему  $\sum_f^c$  такую, что

$$L(\sum_{f(x_1, \dots, x_n)}^c) \leq \frac{2^n}{n}$$

Доказательство. Отличается от предыдущего вторым этапом. При построении схемы  $\sum_f^c$ , исходя из схемы  $\sum$ : контакты  $x^h$  из частей  $\sum^{(1)}$  и  $\sum^{(3)}$  заменяются на параллельное соединение двух таких же контактов  $x^h$ , а в части  $\sum^{(2)}$  каждое объединение, показанное на черт. 19, заменяется на объединение, изображенное на черт. 21. Эта фигура – "двойственная"

фигуре на черт. 20 . Она состоит из контуров, обеспечивающих связь соответствующих вершин при любом единичном разрыве. Легко видеть, что схема  $\Sigma_f^c$  является самокорректирующейся, относительно  $I_{1,0}$ , и реализует функцию  $f$ . Поскольку число контактов в каждом объединении, показанном на черт. 20 , равно числу контактов в соответствующем объединении, изображенном на черт. 21 , то выкладочная часть полностью совпадает с выкладками в доказательстве предыдущей теоремы.

Теорема доказана.

Учитывая данную оценку мы получаем, что

$$L_{1,0}(n) \sim \frac{2^n}{n}$$

т.е. алгоритм синтеза является асимптотически наилучшим. Таким образом, для почти всех функций алгебры логики минимальные самокорректирующиеся, относительно  $I_{0,1}$  (и  $I_{1,0}$ ), схемы имеют сложность асимптотически такую же как обычные минимальные схемы и асимптотически равную  $\frac{2^n}{n}$ . Это означает, что предлагаемые методы построения в теоремах самокорректирующихся схем дают корректные решения.

Вопросы построения самокорректирующихся схем относительно источника  $I_{a,b}$  исследовались рядом авторов (см. обзор [12]). В частности, показано, что при любых фиксированных  $a$  и  $b$  имеет место асимптотика

$$L_{a,b}(n) \sim \frac{2^n}{n}$$

## § 2.2. Построение самокорректирующихся схем из функциональных элементов

Для данного класса у.с. рассматривается источник  $I_d$ , вызывающий неисправности не более  $d$  функциональных элементов. При этом предполагается, что под воздействием источника ненадежные элементы могут изменить свое функционирование, сохранив, однако, прежнее число входов и выходов. Если в рамках указанных ограничений функционирование каждого ненадежного элемента, находящегося в неисправном состоянии, может быть произвольным, то такой источник будем называть неймановским.

В дальнейшем теория рассматривается для неймановских источников. Это объясняется тем, что самокорректирующиеся схемы для неймановских источников  $I_d$  будут также самокорректирующимися схемами для более слабых источников с числом единичных повреждений, не превосходящим  $d$ .

В случае неймановских источников, очевидно, необходимо, чтобы базис  $B$  содержал часть  $B_1$ , состоящую из абсолютно надежных элементов (см. рассуждение на стр. 8 ).

Итак  $B = B_1 \cup B_2$ , где  $B_1$  - часть из надежных элементов, а  $B_2$  - часть из ненадежных элементов.

Теорема 11. Если  $B_1$  содержит элемент голосования  $H$  и  $B$  - полная система, то для каждой функции  $f(x_1, \dots, x_n)$  можно построить самокорректирующуюся, относительно  $I_d$ , схему  $\Sigma^c$ .

Доказательство. Пусть  $\Sigma$  схема в базисе  $B$ , реализующая  $f$ . Рассмотрим схему  $\Sigma^{(e)}$ , которая получается из схемы  $\Sigma$  так же, как схема  $F^{(e)}$  получалась из схемы  $F$  (см. черт. 8 ). Очевидно,  $\Sigma^{(e)}$  реализует  $f$  и является самокорректирующейся, относительно  $I_d$ , если  $d \leq \frac{1}{3}3^{\ell}$ . Наименьшее  $\ell$ , удовлетворяющее этому неравенству, равно  $\ell = \lceil \log_3 d \rceil + 1$  и можно считать, что  $\Sigma^c = \Sigma^{(e)}$ .

Теорема доказана.

Поскольку  $L(\Sigma^c) = 3^\ell L(\Sigma) + \frac{3^{\ell-1}}{2}$ , то видно, что такие самокорректирующиеся схемы - их в дальнейшем будем называть тривиальными - во много раз сложнее исходных. Поэтому, как и в случае контактных схем, данное решение не является корректным. Возникает вопрос о существовании нетривиальных самокорректирующихся схем и об изучении сложности минимальных самокорректирующихся схем.

Пусть  $B = B_1 \cup B_2$ , где  $B_1 = \{H\}$  и  $B_2 = \{F_1, F_2, F_V\}$ , и  $L_B(n, d)$  - функция Шеннона для класса самокорректирующихся схем из Ф.Э. над  $B$  относительно источника  $I_d$ .

Теорема \* (Кириенко Г.И. [2, 3])  $L_B(n, d) \sim \frac{1}{2} \frac{2^n}{n}$ , если  $\log d(n) = O(n)$ .

\*). Здесь дается новое доказательство этого результата.

Доказательство. Опирается на конструкцию синтеза схем в базисе  $\bar{B}$ .

1. Возьмем  $d(n)$  такое, что  $\log d(n) = o(n)$ . Выберем целочисленное  $\ell(n)$  из условия

$$d(n) \leq \frac{1}{3} 3^{\ell(n)} \quad (1)$$

и чтобы  $\ell(n)$  было наименьшим. Тогда

$$\frac{1}{3} 3^{\ell(n)} < d(n) \quad (2)$$

Далее подберем целочисленную функцию  $m(n)$  из условия

$$c 3^{\ell(n)} \leq n^{m(n)}, \quad (3)$$

где  $c = \max_F (L(F) + \frac{1}{2})$  ( $F = F_1, F_2, F_V$ )

и, чтобы  $m(n)$  было наименьшим. Тогда

$$n^{m(n)} < c n 3^{\ell(n)} \quad (4)$$

Используя (2) и (4) имеем

$$n^{m(n)} < c n 3^{\ell(n)} < 9 c n d(n)$$

или

$$2^{m(n)} \log n < 2 \log d(n) + \log(9cn)$$

и

$$m(n) \log n < \log d(n) + \log(9cn),$$

$$m(n) < \frac{\log d(n)}{\log n} + \frac{\log(9cn)}{\log n} + 1 = o\left(\frac{n}{\log n}\right) \quad (5)$$

2. Поскольку имеет место (5), то для функции  $m(n)$  и  $f(x_1, \dots, x_n)$  по теореме ? можно построить в базисе  $\bar{B}$  схему  $\sum_n$ , ее реализующую и такую, что

$$L_{\bar{B}}(\sum_n) \sim \frac{1}{2} \frac{2^n}{n} \quad \text{и} \quad (6)$$

$$\frac{L_{\bar{B}}(\sum_n)}{L_{\bar{B}}(\sum_n)} = 0 \left( \frac{1}{n^{m(n)}} \right) \quad (7)$$

3. Элементы  $F_1, F_2, F_V$  заменяем на  $F_1^{(\ell(n))}, F_2^{(\ell(n))}, F_V^{(\ell(n))}$ , используя конструкцию, указанную на черт. 8. В силу (I) схемы  $F_1^{(\ell(n))}, F_2^{(\ell(n))}, F_V^{(\ell(n))}$  будут самокорректирующимися для  $I_{d(n)}$  и их максимальная сложность, учитывая (3),

$$\max(L_{\bar{B}}(F_1^{(\ell(n))}), L_{\bar{B}}(F_2^{(\ell(n))}), L_{\bar{B}}(F_V^{(\ell(n))})) \leq c 3^{\ell(n)} \leq n^{m(n)} \quad (8)$$

В результате указанной замены схема  $\sum_n$  преобразуется в схему  $\sum_n^c$ , реализующую ту же функцию  $f(x_1, \dots, x_n)$  и являющуюся самокорректирующейся, относительно  $I_{d(n)}$ .

В силу (6), (7) и (8) имеем

$$\begin{aligned} L_{\bar{B}}(\sum_n^c) &\leq L_{\bar{B}}(\sum_n) + n^{m(n)} L_{\bar{B}}^{1,\&,V}(\sum_n) \sim \\ &\sim L_{\bar{B}}^h(\sum_n) + L_{\bar{B}}^h(\sum_n) \cdot o(1) \sim L_{\bar{B}}^h(\sum_n) \sim \frac{1}{2} \frac{2^n}{n} \end{aligned}$$

Кроме того  $L_{\bar{B}}(n, d) \geq L_{\bar{B}}(n)$ .

Теорема доказана.

Данная теорема показывает, что для почти всех булевых функций удается найти корректное решение задачи синтеза самокорректирующихся схем из Ф.Э. в базисе  $\bar{B}$ , относительно источников  $I_{d(n)}$ , где  $\log d(n) = o(n)$ , при котором сложность минимальных самокорректирующихся схем асимптотически равна обычной сложности минимальных схем. Это достигается за счет того, что основная сложность схемы приходится на элементы голосования. В [3] дается другой способ построения, при котором доказывается аналогичная теорема, но доля надежных элементов в самокорректирующейся схеме мала. Развивая эти идеи в [10] показано, что данного эффекта можно достичь, употребляя конечное число надежных элементов голосования.

367

Н172

Литература

1. Быков А.Г. Проблемы кибернетики, вып. I9. - М.: Наука, 1967. - с. 39-46.
2. Кириенко Г.И. Проблемы кибернетики, вып. I2. - М.: Наука, 1964. - с. 29-37.
3. Кириенко Г.И. Дискретный анализ, вып. I6. - Новосибирск: ИМ СО АН СССР, 1970. - с. 38-43.
4. Лупанов О.Б. Изв. вузов, Радиофизика, - 1958, - т. I, № I. - с. I20-I40.
5. Лупанов О.Б. ДАН СССР, - I958, - II9, № I. - с. 23-26.
6. Мадатян Х.А. ДАН СССР, - I964, - I59, № 2. - с. 290-293.
7. Потапов Ю.Г., Яблонский С.В. ДАН СССР, - I960, - I34, № 3. - с. 544-547.
8. Тарасов В.В. Мат. сборник, - I975, - 98, № 3. - с. 378-394.
9. Тарасов В.В. Мат. заметки, - I976, - 20, № 3. - с. 39I-400.
10. Улиг Д. Мат. заметки, - I974, - I5, № 6. с. 937-944.
- II. Яблонский С.В. Banach center pub. - I982, - № 7, р. II-I9.
- I2. Яблонский С.В. Матем. вопросы кибернетики. Вып. I. М.: Наука, I988. - с. 5-25.
- I3. Moore E.F., Shannon C.E. Journal of the Franklin Institute - I956. - № 3, 4. Рус. пер. Шеннон К. Работы по теории информации и кибернетики. - М.: ИЛ, I963. - с. II4-II53.
- I4. Von Neuman J. Princeton University Press, I956. - р. 43. Рус. пер.: Автоматн. - М.: ИЛ. I956. - с. 68-I39.

Надежность управляющих систем.

Методическая разработка.

Составитель: Яблонский С.В.

Подписано в печать 24.04.91 Формат 60x84/16. Бумага №I.

Объем 2.5 п.л. Тираж 300 экз. Заказ № 25 . Бесплатно.

Ротапринт НИВЦ МГУ  
I19899, Москва, Ленинские горы